

13.5—14.6MeV能区中子引起的铂同位素核反应截面测量

罗均华^{1,2} 周丰群¹ 孔祥忠^{1;1)}

1(兰州大学现代物理系 兰州 730000)

2(河西学院物理系 张掖 734000)

摘要 用活化法以⁹³Nb(n, 2n)^{92m}Nb 和²⁷Al(n, α)²⁴Na 反应截面为中子注量标准, 对¹⁹⁸Pt(n, 2n)^{197m+g}Pt, ¹⁹⁸Pt(n, 2n)^{197m}Pt, ¹⁹²Pt(n, 2n)¹⁹¹Pt, ¹⁹⁴Pt(n, p)¹⁹⁴Ir, ¹⁹⁵Pt(n, p)^{195m}Ir 和¹⁹⁶Pt(n, p)^{196m}Ir 反应截面进行了测量, 由(13.5 ± 0.2), (14.1 ± 0.1)和(14.6 ± 0.2)MeV 中子引起的¹⁹⁸Pt(n, 2n)^{197m+g}Pt 反应截面分别为(2038 ± 159), (1919 ± 73)和(1836 ± 68)mb, ¹⁹⁸Pt(n, 2n)^{197m}Pt 反应截面为(974 ± 37), (1055 ± 39)和(1042 ± 39)mb; 由(14.1 ± 0.1), (14.4 ± 0.2)和(14.6 ± 0.2)MeV 中子引起的¹⁹²Pt(n, 2n)¹⁹¹Pt 反应截面为(1680 ± 103), (1810 ± 67)和(2047 ± 97)mb; 由(14.1 ± 0.1)和(14.4 ± 0.2)MeV 中子引起的¹⁹⁴Pt(n, p)¹⁹⁴Ir 反应截面为(3.8 ± 0.4)和(5.4 ± 0.5)mb; 由(14.1 ± 0.1), (14.4 ± 0.2)和(14.6 ± 0.2)MeV 中子引起的¹⁹⁵Pt(n, p)^{195m}Ir 反应截面为(1.0 ± 0.2), (1.6 ± 0.2)和(1.8 ± 0.2)mb; 由(13.5 ± 0.2)和(14.4 ± 0.2)MeV 中子引起的¹⁹⁶Pt(n, p)^{196m}Ir 反应截面分别为(1.13 ± 0.07)和(1.18 ± 0.06)mb. 本工作的数据和其他一些作者的数据进行了比较.

关键词 铂 反应截面 活化法 中子

1 引言

核反应截面是核物理的重要研究课题之一. 它能揭示入射粒子与靶核相互作用机制, 加深对核力、核结构的认识, 也是核技术和核能利用的基础数据, 特别是在核反应理论模型的建立和完善、聚变反应堆的设计、军用核测试数据库的建立以及天体物理方面都有重要的意义. 铂是一种重要的金属材料, 仔细研究其同位素的反应截面, 有十分重要的意义. 在 13.5—14.6MeV 能区, 已有一些测量数据, 但大部分是 1980 年以前测量的, 且误差也较大. 所以, 进一步精确测量铂同位素反应截面是十分必要的.

2 试验过程

2.1 样品照射

样品照射是在兰州大学 ZF-300-II 型强流中子

发生器上进行的, 以 T(d, n)⁴He 反应为中子源, 平均氘束能量为 $E_d = 135\text{keV}$, 束流强度为 $I_d \approx 500\mu\text{A}$, 氚-钛靶质量厚度 1.35mg/cm^2 , 中子产额的变化用 α 伴随粒子法监督, 以便对中子注量的波动进行修正, 中子产额约为 $(3 - 4) \times 10^{10}\text{n/s}$. 中子能量是用⁹⁰Zr(n, 2n)^{89m+g}Zr 和⁹³Nb(n, 2n)^{92m}Nb 截面比法测定的(Lewis and Zieba, 1980)^[1]. 中子注量用⁹³Nb(n, 2n)^{92m}Nb 和²⁷Al(n, α)²⁴Na 反应截面确定. 样品分别放在与入射 d 束成 0° — 140° 角的方向上, 距靶点约 2—15cm. Nb, Al 和 Pt 样品均为 $\phi = 10\text{mm}$ 的天然金属圆片, 每组铂样品分别夹在两片 Nb 或 Al 之间照射.

2.2 γ 放射性的测量

^{92m}Nb, ²⁴Na, ^{197m+g}Pt, ^{197m}Pt, ¹⁹¹Pt, ¹⁹⁴Ir, ^{195m}Ir 和^{196m}Ir 的 γ 放射性用国产 CH8403 同轴高纯锗 γ 谱仪测量, γ 探测器的相对效率为 20%, 对 1.33MeV

γ 射线的能量分辨率为 3 keV, 测量时样品距晶体表面为 2 cm, 对探测器的 γ 探测效率进行了精确刻度。用美国国家标准局生产的 SRM4275 (Standard Reference Material 4275) 型标准点源刻度 20 cm 处的绝对效率, 得出绝对刻度曲线。由于在实际测量过程中, 样品是放在距离纯锗晶体 2 cm 处, 所以用一组单能源分别在 20 cm 和 2 cm 处测出这两个位置的各条 γ 射线能量的效率比, 然后用这组不同能量的效率比和上述 20 cm 处的绝对效率曲线计算出 2 cm 处的绝对效率曲线。标准源的误差小于 1.0%, 2 cm 处所定的误差小于 1.5%。

试验中反应产物核的衰变常量、 γ 射线能量、强度以及靶核的丰度列于表 1, 这些数据均取自文献[2]。在计算 γ 射线活度时, 对中子注量的波动、 γ 射线在样品中的自吸收、级联 γ 符合效应以及测量几何进行了校正。

表 1 核反应及核数据

反应道	靶核丰度/%	产物核半衰期	E_γ/keV	$I_\gamma/\%$
$^{198}\text{Pt}(n, 2n)^{197}\text{Pt}$	7.22	18.3 h	191.437	3.7
$^{198}\text{Pt}(n, 2n)^{197m}\text{Pt}$	7.22	95.41 m	279.01	2.4
$^{192}\text{Pt}(n, 2n)^{191}\text{Pt}$	0.79	2.9 d	538.87	13.7
$^{194}\text{Pt}(n, p)^{194}\text{Ir}$	32.9	19.15 h	293.55	2.55
$^{195}\text{Pt}(n, p)^{195m}\text{Ir}$	33.8	3.8 h	432.86	9.0
$^{196}\text{Pt}(n, p)^{196m}\text{Ir}$	25.3	1.40 h	355.9	94.08
$^{93}\text{Nb}(n, 2n)^{92m}\text{Nb}$	100	10.15 d	934.43	99.07
$^{27}\text{Al}(n, \alpha)^{24}\text{Na}$	100	14.959 h	1368.633	100

3 试验结果及讨论

反应截面的计算公式如下^[3]:

$$\sigma_x = \frac{[\epsilon_p I_\gamma \eta K SMD]_0}{[\epsilon_p I_\gamma \eta K SMD]_x} \cdot \frac{[\lambda AFC]_x}{[\lambda AFC]_0} \cdot \sigma_0,$$

其中下标‘0’和‘x’分别表示监督片和待测核素的物理量, ϵ_p 为所测的特征 γ 射线全能峰效率; I_γ 为特征 γ 射线的强度; η 为所测核素的丰度; λ 为衰变常量; $S = 1 - e^{-\lambda T}$ 表示剩余核的生长因子, T 是总的中子照射时间; M 为样品质量; $D = e^{-\lambda t_1} - e^{-\lambda t_2}$ 为测量收集因子, t_1 为从照射到测量开始的时间间隔, t_2 为从照射结束到测量结束的时间间隔; A 为样品元素的原子量; C 为实测的全能峰面积; F 为总的 γ 活度校正因子, 其表达式为

$$F = f_s \times f_c \times f_g,$$

其中 f_s , f_c 和 f_g 分别是样品给定的 γ 射线在样品中的自吸收因子、级联 γ 符合效应修正因子以及几何校正修正因子, K 为中子注量波动校正因子, 其表达式为

$$K = [\sum_{i=1}^l \Phi_i (1 - e^{-\lambda \Delta t_i}) \cdot e^{-\lambda T_i}] / (\Phi \cdot S),$$

其中 l 为将照射时间分成的段数; Δt_i 为每段的时间间隔; Φ_i 为在 Δt_i 内入射到样品的平均中子注量; Φ 为在 T 时间内入射到样品上的平均中子注量。

所测的反应截面、标准截面及文献值列于表 2。从表 2 可以看出, 在 13.5—14.6 MeV 中子能区, $^{198}\text{Pt}(n, 2n)^{197m+g}\text{Pt}$ 反应截面值随中子能量的增加而减小(如图 1), $^{192}\text{Pt}(n, 2n)^{191}\text{Pt}$, $^{194}\text{Pt}(n, p)^{194}\text{Ir}$, $^{195}\text{Pt}(n, p)^{195m}\text{Ir}$ 和 $^{196}\text{Pt}(n, p)^{196m}\text{Ir}$ 反应截面值随中子能量的增加而增加; $^{198}\text{Pt}(n, 2n)^{197m+g}\text{Pt}$ (如图 1), $^{198}\text{Pt}(n, 2n)^{197m}\text{Pt}$ (如图 2) 和 $^{196}\text{Pt}(n, p)^{196m}\text{Ir}$ 在各能量点的截面值在误差范围内与文献值符合很好。对 $^{192}\text{Pt}(n, 2n)^{191}\text{Pt}$ 反应的截面值, 在 14.6 MeV 能量点与 Hankla et al.(1972)^[4] 和 Qaim(1972)^[8] 的数据较好符合, 而在 14.4 MeV 能量点比 Hankla et al.(1972)^[4] 低, 在 14.1 MeV 能量点没有文献值与之对应;

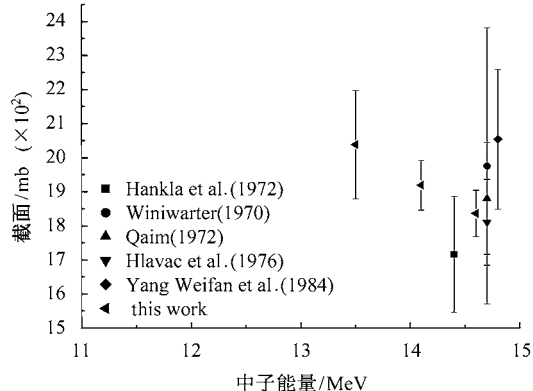


图 1 $^{198}\text{Pt}(n, 2n)^{197m+g}\text{Pt}$ 的反应截面

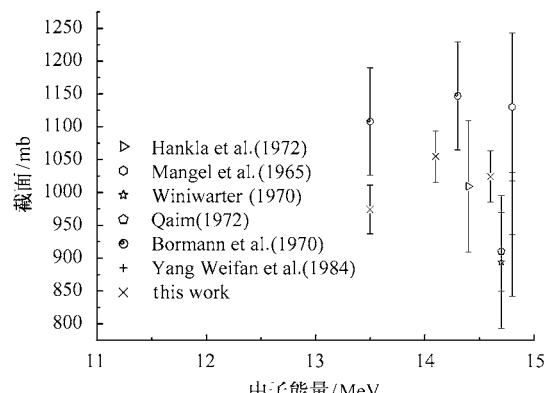


图 2 $^{198}\text{Pt}(n, 2n)^{197m}\text{Pt}$ 的反应截面

表2 测量结果及文献值

反应道	本工作		文献值		
	σ/mb	E_n/MeV	σ/mb	E_n/MeV	Reference
$^{198}\text{Pt}(n,2n)^{197m+g}\text{Pt}$	1836 ± 68	14.6 ± 0.2	1716 ± 170	14.4 ± 0.4	[4]
	1919 ± 73	14.1 ± 0.1	1976 ± 405	14.70 ± 0.15	[7]
	2038 ± 159	13.5 ± 0.2	1880 ± 164	14.7 ± 0.3	[8]
			1810 ± 126	14.7 ± 0.2	[10]
			2054 ± 205	14.8	[11]
$^{198}\text{Pt}(n,2n)^{197m}\text{Pt}$	1042 ± 39	14.6 ± 0.2	1009 ± 100	14.4 ± 0.4	[4]
	1055 ± 39	14.1 ± 0.1	1130 ± 113	14.8	[5]
	974 ± 37	13.5 ± 0.2	894 ± 101	14.70 ± 0.15	[7]
			910 ± 60	14.7 ± 0.3	[8]
			1108 ± 82	13.54 ± 0.06	[9]
$^{192}\text{Pt}(n,2n)^{191}\text{Pt}$			1147 ± 82	14.30 ± 0.06	[9]
			936 ± 94	14.8	[11]
	2047 ± 97	14.6 ± 0.2	2035 ± 150	14.4 ± 0.4	[4]
	1810 ± 67	14.4 ± 0.2	2026 ± 168	14.7 ± 0.3	[8]
	1680 ± 103	14.1 ± 0.1			
$^{194}\text{Pt}(n,p)^{194}\text{Ir}$	3.8 ± 0.4	14.1 ± 0.1	4.3 ± 0.6	14.4 ± 0.4	[4]
	5.4 ± 0.5	14.4 ± 0.2	3.92 ± 0.4	14.5	[6]
			3.9 ± 0.5	14.7 ± 0.3	[12]
$^{195}\text{Pt}(n,p)^{195m}\text{Ir}$	1.8 ± 0.2	14.6 ± 0.2	1.3 ± 0.2	14.7 ± 0.3	[12]
	1.6 ± 0.2	14.4 ± 0.2	2.9 ± 0.3	14.5	[6]
	1.0 ± 0.2	14.1 ± 0.1			
$^{196}\text{Pt}(n,p)^{196m}\text{Ir}$	1.18 ± 0.06	14.4 ± 0.2	1.1 ± 0.2	14.4 ± 0.4	[4]
	1.13 ± 0.07	13.5 ± 0.2	1.00 ± 0.15	14.7 ± 0.3	[12]
$^{93}\text{Nb}(n,2n)^{92m}\text{Nb}$	457.9 ± 6.8	13.5			[13]
	459.8 ± 6.8	14.1			[13]
	459.8 ± 6.8	14.4			[13]
	459.7 ± 5.0	14.6			[13]
$^{27}\text{Al}(n,\alpha)^{24}\text{Na}$	125.7 ± 0.8	13.5			[13]
	121.6 ± 0.6	14.1			[13]
	116.8 ± 0.4	14.4			[13]
	114.1 ± 0.6	14.6			[13]

$^{194}\text{Pt}(n,p)^{194}\text{Ir}$ 反应的截面测量值在 14.4 MeV 能量点明显比 Hankla et al. (1972)^[4] 和 Coleman et al. (1959)^[6] 的截面值大; $^{195}\text{Pt}(n, p)^{195m}\text{Ir}$ 反应道的测量截面值在 14.6 MeV 能量点比 Qaim et al. (1977)^[12] 的数据偏大, 而在 14.4 MeV 能量点 Coleman et al.

(1959)^[6]的数据几乎是我们测量值的两倍。

本工作的主要误差来源有: 计数统计误差, 标准截面误差, 探测效率, 样品质量, γ 射线的自吸收、级联 γ 符合效应、测量几何因素以及散射中子的影响等。

参考文献(References)

- 1 Lewis V E, Zieba K J. Nucl. Instrum. Methods, 1980, **174**, 141—144
 2 Browne E, Firestone R B. Table of Isotopes. Wiley, New York, 1996
 3 WANG Yong-Chang, YUAN Jun-Qian, REN Zhong-Liang et al. High Energy Phys. & Nucl. Phys., 1990, **14**:923(in Chinese)
 (王永昌, 袁俊谦, 任忠良等. 高能物理与核物理, 1990, **14**:923)
 4 Hankla A K, Fink R W. Nucl. Phys., 1972, **A180**:157—176
 5 Mangel S K, Khurana. Nucl. Phys., 1965, **69**:158
 6 Coleman R F, Hawker B E, O'Connor L P. Proc. Phys. Soc., 1959,
 73:215
 7 Winiwarter P. Nucl. Phys., 1970, **A158**:77
 8 Qaim S M. Nucl. Phys., 1972, **A185**:614
 9 Bommann M, Bissem H H, Magiera E. Nucl. Phys., 1970, **A157**:481
 10 Hlavac S, Kristiak J, Oblozinsky P. Acta. Phys. Slov., 1976, **26**:64
 11 YANG Wei-Fan, LI Ying-Jun. Chin. Nucl. Phys., 1984, **6**:373
 12 Qaim S M, Molla N I. Nucl. Phys., 1977, **A283**:269
 13 Wagner M, Vonach H, Pavlik A et al. Physik Daten Physics Data, Evaluation of Cross Sections for 14 Important Neutron-Dosimetry Reactions, 1990, No. 13-5

Cross-Section Measurements for Reactions on Platinum Isotopes Induced by Neutron Beams in Energy Range of 13.5 to 14.6 MeV

LUO Jun-Hua^{1,2} ZHOU Feng-Qun¹ KONG Xiang-Zhong^{1;1)}

1 (Department of Modern Physics, Lanzhou University, Lanzhou 730000, China)

2 (Department of Physics, Hexi University, Zhangye 734000, China)

Abstract Cross-sections for ($n, 2n$) and (n, p) reactions have been measured on platinum isotopes at the neutron energies of 13.5 to 14.6 MeV using the activation technique. Data were reported for the following reactions: $^{198}\text{Pt}(n, 2n)^{197m+\delta}\text{Pt}$, $^{198}\text{Pt}(n, 2n)^{197m}\text{Pt}$, $^{192}\text{Pt}(n, 2n)^{191}\text{Pt}$, $^{194}\text{Pt}(n, p)^{194}\text{Ir}$, $^{195}\text{Pt}(n, p)^{195m}\text{Ir}$, and $^{196}\text{Pt}(n, p)^{196m}\text{Ir}$. At the neutron energies of 13.5, 14.1 and 14.6 MeV, the cross sections in mb are 2038 ± 159 , 1919 ± 73 and 1836 ± 68 for $^{198}\text{Pt}(n, 2n)^{197m+\delta}\text{Pt}$ reaction; 974 ± 37 , 1055 ± 39 and 1042 ± 39 for $^{198}\text{Pt}(n, 2n)^{197m}\text{Pt}$ reaction, respectively. The cross sections are 1680 ± 103 , 1810 ± 67 and 2047 ± 97 for $^{192}\text{Pt}(n, 2n)^{191}\text{Pt}$ reaction, and 1.0 ± 0.2 , 1.6 ± 0.2 and 1.8 ± 0.2 for $^{195}\text{Pt}(n, p)^{195m}\text{Ir}$ reaction, respectively, at energies of 14.1, 14.4 and 14.6 MeV. At 14.1 and 14.4 MeV neutron energies, the cross sections are 3.8 ± 0.4 and 5.4 ± 0.5 for $^{194}\text{Pt}(n, p)^{194}\text{Ir}$ reaction. While, the data are (1.13 ± 0.07) and (1.18 ± 0.06) mb at energies of 13.5 and 14.4 MeV, respectively, for $^{196}\text{Pt}(n, p)^{196m}\text{Ir}$ reaction.

The neutron fluences were determined using the monitor reaction $^{93}\text{Nb}(n, 2n)^{92m}\text{Nb}$ or $^{27}\text{Al}(n, \alpha)^{24}\text{Na}$. A comparison was made between the present cross sections and the collected data for the measured reactions.

Key words platinum, cross section, activation method, neutron

Received 2 November 2004

1) E-mail: kongxz@lzu.edu.cn